

Рис. 5. Одномерные спектры пульсаций продольной  $F_1(k)$  и поперечной  $F_2(k)$  — компонент скорости на оси осесимметричной струи при  $Re = 3,7 \cdot 10^5$  на расстоянии  $70d$  ( $k$  — продольная компонента волнового вектора,  $d$  — диаметр сопла). Типичным для таких спектров является наличие трёх выделенных интервалов: 1 — энергосодержащий интервал, в котором форма спектра зависит от механизма возбуждения турбулентности; 2 — инерционный интервал, характеризующийся постоянным потоком энергии по спектру; 3 — интервал вязкой диссипации энергии.

Прошло ок. 20 лет с момента создания теории Колмогорова и выдвижения им гипотезы, что при больших числах Рейнольдса  $T$  является локально (т. е. для достаточно мелкомасштабных движений) однородной и изотропной, прежде чем она получила эксперим. подтверждение. Эксперименты, выполненные к 1962 в следе за островом в канале около Ванкувера во время прилива, при числах Рейнольдса  $Re = 3 \cdot 10^8$ , продемонстрировали закон  $\langle k^{-5/3} \rangle$  для волновых чисел, изменяющихся на три порядка. В последующие годы универсальность этого закона была подтверждена экспериментами во многих др. течениях при больших числах Рейнольдса: в струях, свивовых слоях, в лаб. и атм. пограничных слоях, в следе за цилиндром и т. п.

Универсальность спектра Колмогорова — независимость от источника энергии — является в определ. степени специфич. свойством, присущим  $T$ . в простых средах, напр. в нейтральных жидкостях, в к-рых отсутствует характерный внутр. масштаб. В более сложных средах, напр. в плазме,  $T$  — результат взаимодействия разл. полей и/или возбуждений с разными характерными частотами, масштабами и полосами поглощения (см. *Турбулентность плазмы*). Кроме того, существенными могут оказаться нелинейные механизмы диссипации — коллапс ленгмюровских волн в плазме (см. *Волновой коллапс*), обрушение *внутренних волн* или *волны на поверхности жидкости* и т. п. В такой ситуации простые модели типа инерц. интервала и передачи энергии от крупномасштабных движений к мелкомасштабным неприменимы, а одних только соображений размерности недостаточно для получения результатов в замкнутом виде. Степенные спектры в подобных ситуациях также возможны, но при определ. ограничениях, напр. если выполнены условия возбуждения лишь одного типа волн. Для слабой  $T$ . такие спектры в приближении случайных фаз могут быть получены из кинетич. ур-ний для волн. Примером является спектр Захарова — Филоненко  $E_k \sim k^{-11/4}$  для капиллярных волн, к-рый также соответствует инерц. интервалу.

Перемежаемость  $T$ . Из экспериментов выяснилось, что колмогоровский спектр  $k^{-5/3}$  часто наблюдается не только там, где он должен обнаруживаться — в инерционном интервале, — но и в диапазоне малых волновых чисел и/или даже при умеренных числах Рейнольдса, когда критерии однородности и изотропности  $T$ . строго говоря, не выполнены. Это привело к выводу, что колмогоровский

закон  $k^{-5/3}$ , основанный на самых общих предположениях, не отражает всю специфику гидродинамич.  $T$ , описываемой ур-ниями Навье — Стокса. Имеется ещё одно существенное противоречие между колмогоровской моделью и экспериментом, заключающееся в следующем. Предположение теории Колмогорова о том, что единственный размерный параметр, определяющий свойства  $T$ . в инерц. интервале, —ср. скорость передачи энергии по спектру  $\varepsilon$  (равная скорости её диссипации) — в действительности нарушается, если  $\varepsilon$  является сильно флуктуирующей величиной (Л. Д. Ландау, 1944). В этом случае появляются дополнит. независимые параметры, характеризующие статистич. свойства  $\varepsilon$ . Эксперименты Дж. Бэтчелора (G. Batchelor) и А. Таунсенд (A. Townsend) в 1949 и многих др. исследователей не только свидетельствуют о флуктуации, характере  $\varepsilon$  в пространстве и времени, но и показывают, что осн. вклад в усреднённое значение  $\varepsilon$  дают редкие её флуктуации, существенно превышающие фоновый уровень. Это свойство, получившее назв. *перемежаемости*  $T$ , иллюстрирует рис. 6, на к-ром представлена скорость диссипации  $\gamma$  флюктуаций концентрации пассивной примеси, величины, во многом аналогичной  $\varepsilon$ .

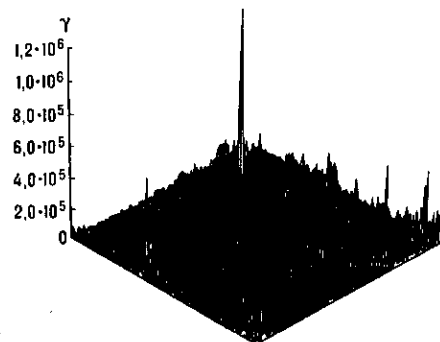


Рис. 6. Скорость диссипации  $\gamma$  флюктуаций концентрации пассивной примеси в поперечном сечении струи (фрагмент). Наличие пиков свидетельствует о сильной перемежаемости течения (C. Meneveau, K. R. Sreenivasan, 1989).

Учёт перемежаемости привёл в дальнейшем к созданию фрактальной модели  $T$ . Её физ. интерпретация состоит в следующем. В процесс передачи энергии от крупных вихрей к более мелким вовлечён не весь объём крупного вихря, а лишь его активная часть, к-рая может быть охарактеризована коэф.  $\beta = 2^{D_B - 3}$ , равным отношению объёма вновь образующихся вихрей с масштабом  $l_{n+1} \sim 2^{-n-1} l_0$  к объёму исходного вихря с масштабом  $l_n \sim 2^{-n} l_0$ , где  $l_0$  — характерный масштаб всего течения. Это приводит к следующему выражению для структурной ф-ции:

$$\langle |\Delta u|^p \rangle \sim l^{\xi_p}; \quad \xi_p = \frac{p(D_B - 2)}{3} + (3 - D_B),$$

где  $D_B$  — фрактальная размерность (см. *Фракталы*) области, занятой активными вихрями (естественно, речь идёт о фрактальной размерности, получающейся при «физ.» переходе к пределу при условии  $l > l_0$ ). Хотя в этой модели ( $\beta$ -модель) свободный параметр  $D_B$  не определён, её точным следствием является линейная зависимость  $\xi_p$  от  $p$ , к-рая не подтверждается эксперим. данными для высших моментов. Это несоответствие снимается в мультифрактальной модели, в к-рой предполагается, что передача энергии от больших масштабов к меньшим сопроточена на множествах  $S_h$  с фрактальной размерностью  $D(h)$ , на каждом из к-рых в инерц. интервале также имеет место масштабная инвариантность, но со своим показателем  $h$ . Фрактальная картина  $T$ . хорошо видна, напр., на рис. 6, 7.

**Структурный подход.** Основы структурного подхода были заложены Л. Ричардсоном (L. Richardson, 1922), предложившим каскадную модель передачи энергии от круп-